

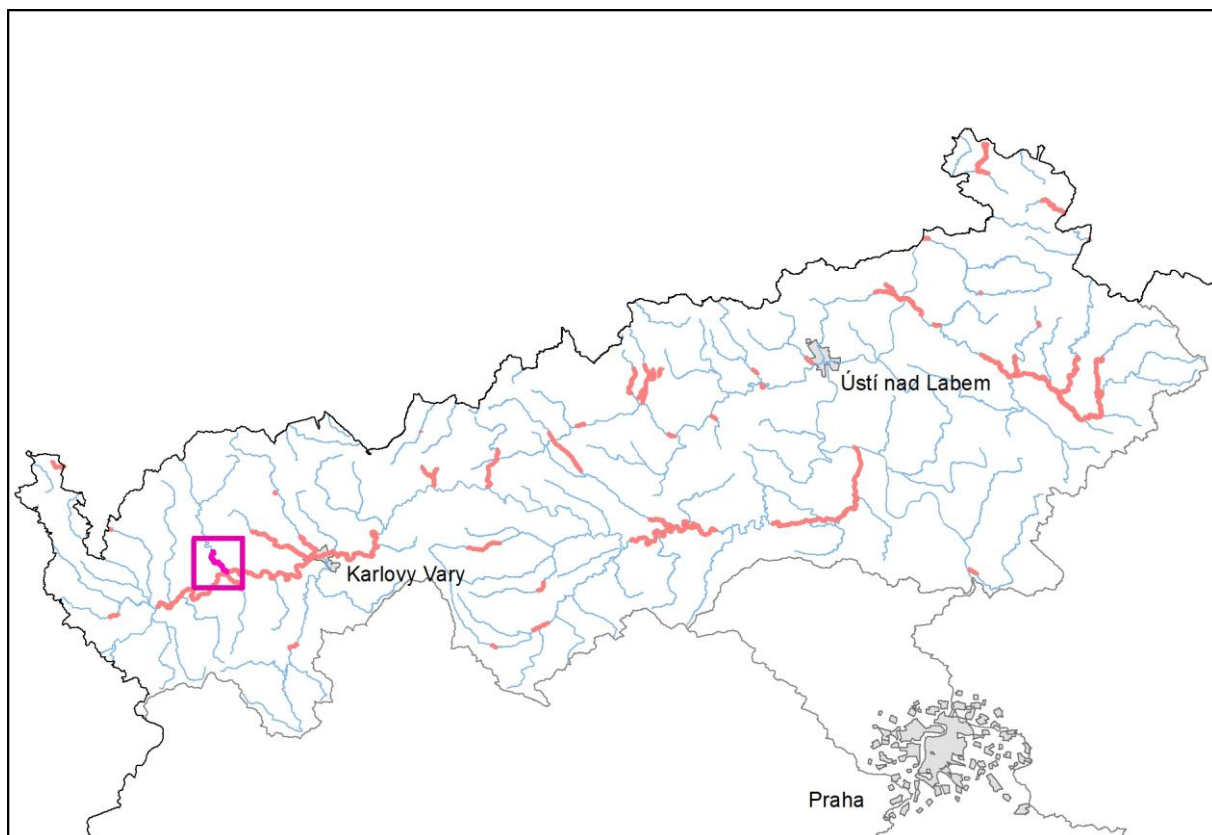


# ZPRACOVÁNÍ MAP POVODŇOVÉHO NEBEZPEČÍ A POVODŇOVÝCH RIZIK PRO OBLAST POVODÍ OHŘE A DOLNÍHO LABE

DÍLČÍ POVODÍ OHŘE, DOLNÍHO LABE A OSTATNÍCH PŘÍTOKŮ LABE

## B. TECHNICKÁ ZPRÁVA – HYDRODYNAMICKÉ MODELY A MAPY POVODŇOVÉHO NEBEZPEČÍ

SVATAVA – 10226615\_1 - Ř. KM 0,000 – 4,900



listopad 2013





OPERAČNÍ PROGRAM  
ŽIVOTNÍ PROSTŘEDÍ



EVROPSKÁ UNIE  
Fond soudržnosti

Pro vodu,  
vzduch a přírodu

# ZPRACOVÁNÍ MAP POVODŇOVÉHO NEBEZPEČÍ A POVODŇOVÝCH RIZIK PRO OBLAST POVODÍ OHŘE A DOLNÍHO LABE

## DÍLČÍ POVODÍ OHŘE, DOLNÍHO LABE A OSTATNÍCH PŘÍTOKŮ LABE

### B. TECHNICKÁ ZPRÁVA – HYDRODYNAMICKÉ MODELY A MAPY POVODŇOVÉHO NEBEZPEČÍ

SVATAVA – 10226615\_1 - Ř. KM 0,000 – 4,900

Pořizovatel:



Povodí Ohře

Povodí Ohře, státní podnik  
Bezručova 4219  
Chomutov  
430 03

Zhotovitel: sdružení „HYDROPROJEKT + Hydrossoft + AZ Consult“



Sweco Hydropunkt a.s.  
Táborská 31  
Praha 4  
140 16



HYDROSOFT Veleslavín s.r.o.  
U Sadu 13/62  
Praha 6  
162 00



AZ Consult, spol. s r.o.  
Klíšská 12  
Ústí nad Labem  
400 01



OPERAČNÍ PROGRAM  
ŽIVOTNÍ PROSTŘEDÍ



EVROPSKÁ UNIE | Pro vodu,  
Fond soudržnosti vzduch a přírodu

**Řešitel:**



Ing. Zdeněk Klíma  
Pod Vinicí 322/29  
Litoměřice  
412 01



Sweco Hydroprojekt a.s.  
Táborská 31  
Praha 4  
140 16

V Praze, listopad 2013

**Obsah:**

<b>1</b>	<b>Základní údaje .....</b>	<b>7</b>
1.1	Seznam zkratek a symbolů .....	7
1.2	Cíle prací.....	7
1.3	Předmět práce .....	7
1.4	Postup zpracování a metoda řešení .....	7
<b>2</b>	<b>Popis zájmového území .....</b>	<b>9</b>
2.1	Všeobecné údaje .....	10
2.2	Průběhy historických povodní (největší zaznamenané povodně) .....	10
<b>3</b>	<b>Přehled podkladů.....</b>	<b>12</b>
3.1	Topologická data.....	12
3.1.1	Vytvoření (aktualizace) DMT .....	12
3.1.2	Mapové podklady.....	12
3.1.3	Geodetické podklady .....	13
3.2	Hydrologická data .....	13
3.2.1.	Hydrologické poměry a jejich interpretace ve výpočtovém modelu.....	14
	Pro zpracování studie byly použity pouze základní hydrologické údaje ČHMÚ.....	14
3.3	Místní šetření .....	14
3.4	Doplňující podklady – technické a provozní informace, zprávy, studie, dokumenty, literatura.....	14
3.5	Normy, zákony, vyhlášky .....	14
3.6	Vyhodnocení a příprava podkladů .....	15
<b>4</b>	<b>Popis koncepčního modelu .....</b>	<b>16</b>
4.1	Schematizace řešeného problému.....	16
4.2	Posouzení vlivu nestacionarity proudění.....	16
4.3	Způsob zadávání OP a PP .....	16
<b>5</b>	<b>Popis numerického modelu .....</b>	<b>17</b>
5.1	Použité programové vybavení.....	17
5.2	Vstupní data numerického modelu.....	17
5.2.1	Morfologie vodního toku a záplavového území.....	17
5.2.2	Drsnosti hlavního koryta a inundačních území .....	18
5.2.3	Hodnoty okrajových podmínek .....	18
5.2.4	Hodnoty počátečních podmínek .....	19
5.2.5	Diskuze k nejistotám a úplnosti vstupních dat .....	19
5.3	Popis kalibrace modelu .....	19
<b>6</b>	<b>Výstupy z modelu .....</b>	<b>20</b>
6.1	Záplavové čáry pro průtoky $Q_5$ , $Q_{20}$ , $Q_{100}$ a $Q_{500}$ .....	23
6.2	Hloubky pro průtoky $Q_5$ , $Q_{20}$ , $Q_{100}$ a $Q_{500}$ .....	23
6.3	Rychlosti pro průtoky $Q_5$ , $Q_{20}$ , $Q_{100}$ a $Q_{500}$ .....	23

6.3.1	Bodová vrstva průměrných celoprofilových rychlostí .....	24
6.3.2	Plošné rozdělení rychlostí v inundaci .....	24
6.4	Zhodnocení nejistot ve výsledcích výpočtů .....	24

## 1 Základní údaje

### 1.1 Seznam zkratek a symbolů

V následující tabulce č. 1.1 jsou abecedně seřazeny všechny zkratky a symboly použité při zpracování části B, Technická zpráva – hydrodynamické modely a mapy povodňového nebezpečí.

Tab. č. 1.1 Seznam zkratek a symbolů

Zkratka	Vysvětlení
ČHMÚ	Český hydrometeorologický ústav
DMT	Digitální model terénu
DOP	Dolní okrajová podmínka
DPI	Rozlišení dané počtem bodů na jeden palec ( 2,5 cm)
DMR 4G	Digitální model reliéfu 4. generace
DMR 5G	Digitální model reliéfu 5. generace
GIS	Geografické informační systémy
IDVT CEVT	Identifikátor vodního toku v Centrální evidenci vodních toků
SOP	Studie odtokových poměrů
LG	Limnigraf
ZÚ	Záplavová území
ZM10	Základní mapa 1:10 000

### 1.2 Cíle prací

Cílem prací je vyjádření povodňového nebezpečí na základě stanovení těchto charakteristik průběhu povodně:

- hranice rozlivů
- hloubky vody v záplavovém území
- rychlosti proudění vody v záplavovém území

Podstatou vyjádření povodňového nebezpečí je určení prostorového rozdělení uvedených charakteristik povodně a zpracování těchto údajů do podoby tzv. map povodňového nebezpečí. Ty slouží v dalším kroku jako podklad pro vyjádření povodňového rizika semikvantitativní metodou uvedenou v „Metodice tvorby map povodňového nebezpečí a povodňových rizik“.

### 1.3 Předmět práce

Předmět práce zahrnuje tyto činnosti:

- popis postupů souvisejících se zajištěním vstupních podkladů – stávající + nové (dodatečné zaměření profilů, objektů atd.),
- sestavení (aktualizace) hydrodynamických modelů a příslušné simulace,
- zpracování výsledků numerického modelování a vytvoření map povodňového nebezpečí (mapy rozlivů, hloubek a rychlostí).

### 1.4 Postup zpracování a metoda řešení

Výchozím podkladem pro zpracování studie byla data ze studie „Záplavové území Svatavy – povodňový model úsek soutok s Ohří – Luh nad Svatavou, ř. km 0,000 až 7,367.“ provedené v roce 2000 s aktualizací v roce 2008 v HEPS Terezín, Povodí Ohře, státní podnik.

Po prostudování poskytnutých dat byl proveden terénní průzkum s cílem zjistit, zda geodetické zaměření je dostačné nebo bude třeba provést dodatečné zaměření. V průběhu terénního průzkumu byla pořízena nová fotodokumentace.

Na základě místního šetření bylo shledáno, že od doby provádění studie nedošlo v zájmovém území k žádným významným změnám v odtokových poměrech. Původní zaměření ze studie bylo prohlášeno za dostatečné a nebylo nutné provádět dodatečné zaměření.

S ohledem na 5- letou platnost hydrologických dat bylo nutné v zájmovém profilu hydrologická data (průtoky n-letých vod) vydávaných ČHMÚ nechat znova ověřit. U ověřených dat nebyly shledány zásadní změny průtoků, což vedlo k rozhodnutí prezentovat grafické výstupy nad původní mapou ZM 10 z roku 2008. Pro výpočet byla použita původní trať ze zaměření z roku 2000, aktualizovaná v roce 2008.

Hydraulické výpočty vodního toku včetně objektů a inundačního území byly provedeny pro  $Q_5$ ,  $Q_{20}$ ,  $Q_{100}$ ,  $Q_{500}$ . Získané výsledky byly jako bodová informace dále zpracovány pomocí nástrojů GIS nad výše zmíněným mapovým podkladem. V první řadě byly rozšířeny přičné profily tak, aby přesahovaly průběh záplavy  $Q_{500}$ , což bylo nezbytné pro tvorbu „Map hloubek“. Dále za pomoci vygenerovaných bodů z DMR 5G byly nad mapovým podkladem vyneseny průběhy záplavových čar a průběhy rychlostí. Průběhy obou typů čar byly upřesněny nad vytvořenou „Mapou hloubek“ z DMR 5G. Výsledky jsou prezentovány v podobě map povodňového nebezpečí v kapitole 6.

## 2 Popis zájmového území

Název vodního toku: Svatava

ID úseku IDVT CEVT: 10226615\_1

Číslo hydrologického pořadí vodního toku: 1-13-01-0910-0-00 (Ohře)  
1-13-01-0930-0-00 (Ohře)  
1-13-01-1210-0-00 (Svatava)  
1-13-01-1220-0-00 (Radvanovský potok)  
1-13-01-1230-0-00 (Svatava)  
1-13-01-1242-0-00 (Lomnický potok)  
1-13-01-1250-0-00 (Svatava)  
1-13-01-1260-0-00 (Ohře)

Úsek vodního toku: ř. km 0,0 – 4,9

Významná vodní díla:

Významné přítoky: Brunndöbrabach, Bublavský potok, Stříbrný potok, Rotava, Novohorský potok, Hluboký potok, Lomnický potok, Kamenný potok, Sněženský potok, Mezní potok, Dolinský potok, Radvanovský potok

Svatava (německy *Zwodau*) je řeka na česko-německém pomezí. Její délka je 31 km. Plocha povodí měří 297,5 km<sup>2</sup>.

Pramení nedaleko saského Schönecku. Tady má ještě název *Zwota* a stejně se jmenuje i obec, kterou ještě jako potok protéká. Na území České republiky jako Svatava vtéká krušnohorským údolím u Hraničné a k Sokolovu směřuje přes Kraslice. V Sokolově se vlévá zleva do Ohře na říčním kilometru 197,0 v nadmořské výšce 388,15 m. Jedinými většími městy jsou Klingenthal a Kraslice. Vodní tok kopíruje železniční trať a silnice, kolem dokola jsou lesy. Dno řeky je převážně kamenité, k nám přináší řeka písek. Břehy jsou porostlé olšemi, vrbami, kapradinami.

Následky starých hutních aktivit jsou silná znečištění řek olovem a arzénem. Úsek Ohře mezi soutokem se Svatavou a Nechanickou přehradou je takto silně znečištěn nejen olovem a arzenem, ale i řadou dalších prvků, např. mědí, zinkem, beryliem, uranem, cínem, kobaltem, selenem, antimonem a wolframem.

Podklady:

Název vodního toku - zdroj VÚV TGM, 2011

ID úseku IDVT CEVT - zdroj Ministerstvo zemědělství, 2011

Číslo hydrologického pořadí vodního toku - zdroj ČHMÚ, 2013

Úsek vodního toku - zdroj Povodí Ohře, státní podnik, 2011

Významná vodní díla - zdroj ZM10, ČÚZK, 2012

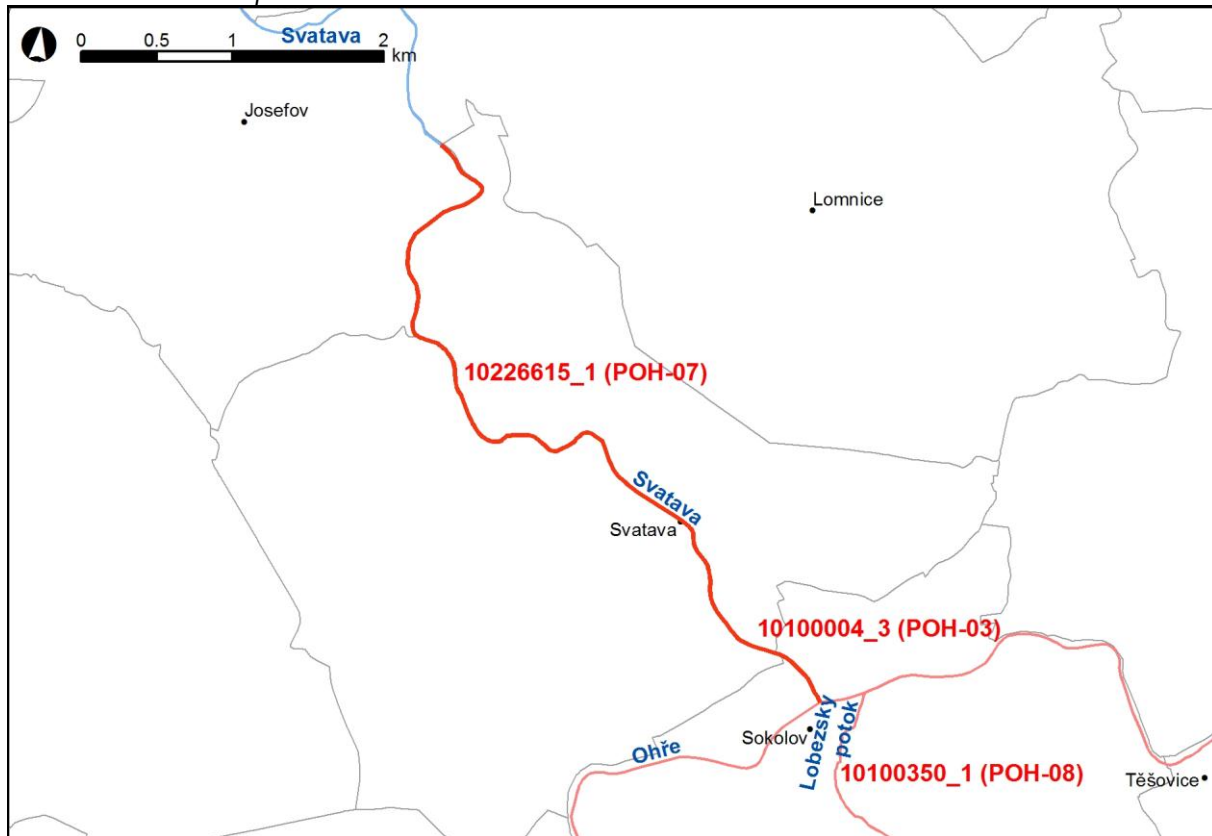
Významné přítoky - zdroj ZM10, ČÚZK, 2012

Souhrnná technická zpráva „Studie záplavového území toku Svatavy v ř. km 0,0 – 4,9“, HEPS Terezín, Povodí

Ohře, státní podnik, 2000 s aktualizací v roce 2008

*Wikipedia*

Obr. č. 1 Přehledná mapa řešeného území



## 2.1 Všeobecné údaje

V rámci této studie byla posuzována Svatava v ř. km 0,00 – 4,90. Staničení bylo převzato z předchozí studie a odpovídá požadavku objednatele určujícím počátek a konec posuzovaného území.

Svatava pramení v Sasku jihovýchodně od Schönecku ve výšce 710 m n. m. Na naše území vstupuje u osady Hraničná jako nevýrazný potok, protéká Kraslicemi, odkud až k ústí do Ohře v Sokolově teče stále jižním směrem. Je jejím levostranným přítokem.

Koryto je v intravilánu Sokolova upravené jako lichoběžník se stabilizovanou patou břehů s kapacitou  $Q_{20}$  až  $Q_{50}$ . Nad Sokolovem již koryto upravené není a jeho kapacita je  $Q_2$  až  $Q_5$ .

Sklon vodního toku je v celém zájmovém úseku vodního toku rovnoměrný a činí 0,35 %.

Rychlosť vody se pohybuje se v rozmezí 1,5 m/s až 2,3 m/s, výjimečně překračuje 2,5 až 3 m/s.

Režim proudění je v celém zájmovém úseku vodního toku řiční.

## 2.2 Průběhy historických povodní (největší zaznamenané povodně)

Na vodním toku byly pomocí limnigrafu LG Svatava – 1,1 ř. km dosud zaznamenány tyto nejvyšší povodňové stavy:

Tab. č. 2.1 Historické povodně LG Svatava

historické povodně			
datum kulminace dle nejvýše dosaženého vodního stavu	Q m <sup>3</sup> /s	H cm	N - letost
13.08.2002	73,2	214	10 - 20
01.04.2006	61	179	5 - 10
22.02.2011	66	185	5 - 10
30.1.1995		141	
1.9.1995		156	
3.1.2003		154	
31.3.2006	33,7	137	2 - 5
31.3.2006	58	185	5 - 10

### 3 Přehled podkladů

V souladu s vyhláškou č. 236/2002 Sb. byly použity pro zpracování návrhu záplavového území tyto podklady. Pravidla pro citace podkladů se řídí dle ČSN ISO 690 (01 0197).

- Základní mapy 1 : 10 000 – digitální, rastrové – ZABAGED®, poskytlo Povodí Ohře, státní podnik, 2012
- Výskopisná data DMR 4G a DMR 5G, copyright ČÚZK, MO ČR, MZe ČR, 2010
- Výskopisná data DMR 5G, copyright ČÚZK, MO ČR, MZe ČR, 2012
- Geodetické zaměření – přičné profily, podélň profil, povodňové značky, provedla firma AquaGeo, v.o.s., Litoměřice v září 1998.
- Výsledky hydraulické výpočtu nerovnoměrným prouděním (program Hydrocheck), 2012
- Hydrologická data: n-leté průtoky – ČHMÚ Plzeň, 06/2011
- Hydrologické poměry ČSSR III. díl, HMÚ Praha, 1970
- Podrobný terénní průzkum zpracovatele, uskutečněný v březnu 2011 zaměřený na zmapování stavu koryta a břehů se zřetelem na místní překážky a další relevantní faktory
- Zákon č. 254/2001 Sb. - o vodách
- Vyhláška MŽP 236/2002 Sb. – o způsobu a rozsahu zpracování návrhu a stanovování záplavových území
- Geomorfologie Českých zemí, Jaromír Demek a kol., AC, 1965
- Vyšší geomorfologické jednotky České republiky, Český úřad zeměměřický a katastrální, Praha, 1996
- Metadata poskytnutá Zeměměřickým ústavem k aktuální verzi ZM 10, 2012
- Atlas podnebí ČSSR, ČHMÚ

#### 3.1 Topologická data

Topologická data jsou základním zdrojem, který je potřebný pro sestavení hydrodynamického modelu. Pomocí nich je možné popsat řešené území, sestavit digitální model terénu a vytvořit vhodnou schematizaci modelu. Jednotlivé topologické podklady jsou popsány v následujících kapitolách.

##### 3.1.1 Vytvoření (aktualizace) DMT

Digitální model terénu byl sestaven z Digitálního modelu reliéfu České republiky 4. generace DMR 4G - LSS od ČÚZK a pro zpřesnění oblasti koryta byly použity 3D terénní hrany břehů a hladiny, které zpracovala společnost GEODIS BRNO, spol. s r.o. Sestavení DMT proběhlo v softwaru společnosti ESRI v ArcGIS pomocí extenze 3D Analyst. DMT byl vygenerován ve formátu ESRI tin, který se převedl do formátu georeferencovaný tif s velikostí pixelu 2 x 2 m.

##### 3.1.2 Mapové podklady

Pro potřeby studie byla vybrána Základní mapa České republiky 1:10 000 (ZM 10) aktualizovaná Zeměměřickým úřadem v roce 2008. Jedná se o nejpodrobnější základní mapu středního měřítka.

ZM 10 obsahuje polohopis, výskopis a popis. Předmětem polohopisu jsou sídla a jednotlivé objekty, komunikace, vodstvo, hranice správních jednotek a katastrálních území (včetně územně technických jednotek), hranice chráněných území, body polohového a výškového bodového pole, porost a povrch půdy. Předmětem výskopisu je terénní reliéf zobrazený vrstevnicemi a terénními stupni. Popis mapy sestává z druhového označení objektů, standardizovaného geografického názvosloví, kót vrstevnic, výškových kót, rámových a mimorámových údajů. Obsahem mapových listů je i rovinatá pravoúhlá souřadnicová síť a zeměpisná síť. Předměty obsahu mapy jsou znázorněny pouze na území České republiky. Míra generalizace polohopisu je na takové úrovni, že nedochází k rozsáhlejšímu spojování jednotlivých staveb do bloků a ke zjednodušování tvarů. Mapa tak poskytuje velmi podrobnou představu o zobrazovaném území.

Tvorbu a aktualizaci ZM 10 zajišťuje Zeměměřický úřad.

ZM 10 je distribuována ve formátu TIF po segmentech bezešvé mapy – čtvercích 2 x 2 km, se stranami rovnoběžnými se souřadnicovými osami S-JTSK.. Kromě grafického umisťovacího souboru je dodáván textový umisťovací soubor TFW a to pro zobrazení S-JTSK / Krovak EN. Tento soubor obsahuje souřadnici levého horního rohu umisťovacího čtverce a velikost pixlu v metrech pro dané rozlišení souboru. Předané soubory TIF mají rozlišení 3149 x 3149 (72DPI).

### 3.1.3 Geodetické podklady

Jak již bylo zmíněno v kapitole 1.4, nebylo nutné provést nové geodetické zaměření. Při stavbě modelu bylo použito zaměření z původní studie provedené firmou AquaGeo, v.o.s., Litoměřice v září 1998. Pro přesnější vynesení průběhu záplavových čar byla k dispozici data z leteckého snímkování DMR 4G, která poskytlo Povodí Ohře, státní podnik.

Jiné výškopisné podklady nebyly pro zpracování studie k dispozici.

## 3.2 Hydrologická data

*Název hydrologického profilu:* ústí do Ohře, Sokolov

*Datum pořízení:* 15.6. 2011

*Říční kilometr:* 0,00 ř. km

*Třída přesnosti dle ČSN 75 1400:* II.

*Velikost plochy povodí k profilu:* 295,23 km<sup>2</sup>

<i>Číslo hydrologického povodí:</i>	1-13-01-0910-0-00 (Ohře)
	1-13-01-0930-0-00 (Ohře)
	1-13-01-1210-0-00 (Svatava)
	1-13-01-1220-0-00 (Radvanovský potok)
	1-13-01-1230-0-00 (Svatava)
	1-13-01-1242-0-00 (Lomnický potok)
	1-13-01-1250-0-00 (Svatava)
	1-13-01-1260-0-00 (Ohře)

*N-leté průtoky:* viz tabulka č. 3.1

*N-leté průtoky porovnání:* viz tabulka č. 3.2

Tab. č. 3.1 N-leté průtoky ( $Q_N$ ) v m<sup>3</sup>.s<sup>-1</sup>

Hydrologický profil	Datum pořízení	Říční kilometr	Q <sub>5</sub>	Q <sub>20</sub>	Q <sub>100</sub>	Q <sub>500</sub>	Třída přesnosti
			1	2	5	10	
ústí do Ohře, Sokolov	15.6.2011	0,00	56	95	157	240	II.

Tab. č. 3.2 Porovnání N-letých průtoků platných a z původní studie ( $Q_N$ ) v m<sup>3</sup>.s<sup>-1</sup>

Vodní tok	Profil	N-leté průtoky ( $Q_N$ ) v m <sup>3</sup> .s <sup>-1</sup>								datum předání
		1	2	5	10	20	50	100	500	
Svatava	ústí do Ohře, Sokolov	25,7	36,9	56	73,9	95	128	157	240	15.6.2011
		24,1	36,9	57,8	76,2	97,1	128	155		červen 2006
%		6,64	0	-3,11	-3,02	-2,16	0	1,29		

Z výše uvedené tabulky vyplývá (žlutě vyznačeno zvýšení, zeleně vyznačeno snížení průtoku), že hodnoty průtoků oproti původním hydrologickým datům nejsou významně odlišné, proto byly záplavové čáry vynášeny nad původním rastrem z roku 2008.

### 3.2.1. Hydrologické poměry a jejich interpretace ve výpočtovém modelu

Pro zpracování studie byly použity pouze základní hydrologické údaje ČHMÚ.

## 3.3 Místní šetření

Místní šetření proběhlo 22.3.2011 a byla zpracována podrobná fotodokumentace. Každá fotografie je časově a prostorově lokalizovaná. Součástí fotodokumentace jsou i fotky ze starších studií. Lokalizace starší fotodokumentace nebyla dodatečně prováděna, v některých případech ale byly i starší fotky lokalizované.

Cílem místního šetření bylo:

- a) posouzení nutnosti doplňujícího geodetického zaměření. V případech rekonstrukcí objektů či vlastního koryta či jakékoli změn v korytě či inundačním území bylo posuzováno, zadali je, nebo není potřeba provést nové zaměření. Výsledek šetření je popsán v kapitole 3.1.3 Geodetické podklady.
- b) posouzení drsnostních charakteristik. Cílem průzkumu bylo mimo jiné i posouzení drsnostních charakteristik, zejména v inundaci, kde se odtokové parametry mohly změnit novou výstavbou. Dále bylo potřeba určit drsnostní charakteristiky v území potenciálně zaplaveném povodní Q<sub>500</sub>.
- c) posouzení morfologie terénu z pohledu průtoku Q<sub>500</sub>. Bylo nutné rozhodnout, zdali bude nutné rozšiřovat profily původního modelu, či nikoliv. Ne vždy se celá se inundace podílí na průtoku. Na základě průzkumu byly některé profily v době sestavování modelu, proti původní studii rozšiřovány z výškopisu DMR 4G.
- d) posouzení objektů z pohledu průtoku Q<sub>500</sub>. Původní modely nepočítaly s tak velkým průtokem. Bylo tedy nutné posoudit průtokové parametry objektů i při této extrémní povodni. U některých objektů byly na základě pořízené fotodokumentace upraveny průtokové koeficienty či další parametry objektu, například rozsah zasahování mostovky do průtočného profilu.
- e) posouzení ohrožení zaplavovaného území povodní. Tato část průzkumu měla za úkol pořídit fotodokumentaci ohrožených objektů v inundaci tak, aby později bylo možné rozhodovat, zda a v jakém rozsahu bude nemovitost ohrožena. Jedná se zde ale o doplňkovou informaci pro analýzy v GIS a v žádném případě se nejedná o evidenci a podrobnou dokumentaci jednotlivých objektů zasažených vodou.

Při stavbě modelu pak byla pořízená fotodokumentace významným nástrojem pro rozhodování kde a jak model upravovat.

## 3.4 Doplňující podklady – technické a provozní informace, zprávy, studie, dokumenty, literatura

V průběhu zpracování nebyly poskytnuty žádné další podklady.

## 3.5 Normy, zákony, vyhlášky

Postupy zpracování studie byly v souladu s níže uvedenými dokumenty v jejich platném znění:

- [1] ČSN 75 0110 Vodní hospodářství – Terminologie hydrologie a hydroekologie
- [2] ČSN 75 1400 Hydrologické údaje povrchových vod.
- [3] ČSN 75 2410 Malé vodní nádrže.
- [4] Zákon č. 240/2000 Sb. o krizovém řízení a změně některých zákonů (krizový zákon).
- [5] Nařízení vlády č. 462/2000 Sb., k provedení §27 odst. 8 a §28 odst. 5 zákona č. 240/2000 Sb., o krizovém řízení a o změně některých zákonů (krizový zákon).
- [6] Vyhláška MŽP 236/2002 Sb., o způsobu a rozsahu zpracovávání návrhu a stanovování záplavových území.
- [7] Vyhláška č. 178/2012 Sb., kterou se stanoví seznam významných vodních toků a způsob provádění činností souvisejících se správou vodních toků.
- [8] Zákon č. 114/1992 Sb., o ochraně přírody a krajiny.

### 3.6 Vyhodnocení a příprava podkladů

Poskytnuté podklady plně pokryly zájmové území. Původní profily musely být místy rozšířeny, protože v původní studii nebyl řešen průtok  $Q_{500}$ . Pro rozšíření profilů bylo použito podkladu DMR 4G, jehož přesnost je pro potřeby modelu v okrajových částech inundace dostatečná.

## 4 Popis koncepčního modelu

Základním požadavkem na zpracování záplavových území je provádění výpočtů metodou ustáleného nerovnoměrného proudění. Pro tento typ výpočtů je vhodný program HYDROCHECK verze 5.X, který používáme.

Jedná se o programový prostředek vyvinutý společností Hydrosoft Veleslavín s.r.o. v devadesátých letech ve spolupráci s Podniky Povodí. Řeší ustálené nerovnoměrné proudění v otevřených neprizmatických korytech v režimových oblastech říčních i bystřinných. Základem řešení nerovnoměrného proudění je obecná metoda po úsecích. Významné objekty byly počítány funkčemi programu Hydrocheck jako objekty.

Program Hydrocheck verze 5.X je mimo jiné vhodným nástrojem pro posuzování aktivní zóny, či hodnocení map rizik, neboť umožňuje vyhodnocování svislicových rychlostí v příčném řezu. Díky tomu je možné vyhodnocovat rychlosti v inundaci a vytvářet mapu rychlostí jako plošnou informaci, nikoliv jen bodovou.

### 4.1 Schematizace řešeného problému

Schéma modelu je poměrně jednoduché. Koryto prochází prakticky v celém zájmovém úseku údolnicí a inundace není široká. Nebylo tedy nutné zpracovávat dílčí úseky vodního toku jako okruhovou síť. Vzdálenosti příčných profiliů v intravilánu jsou cca 50 m, v extravilánu cca 200 až 250 metrů, v místech, kde to bylo potřeba hustěji.

### 4.2 Posouzení vlivu nestacionarity proudění

Vliv nestacionarity je ve výpočtech zanedbán. Studie je zpracována metodou stacionárního nerovnoměrného proudění, což je v souladu s požadavky objednatele.

### 4.3 Způsob zadávání OP a PP

Jelikož se jedná o výpočet ustáleného nerovnoměrného proudění v říčním korytě, zadává se okrajová podmínka v dolním výpočtovém profilu v podobě hladiny a průtoku. V místě významných přítoků, pro které jsou k dispozici hydrologické údaje, se zadává změna průtoku. Jiné okrajové ani počáteční podmínky výpočtu se nezadávají.

## 5 Popis numerického modelu

### 5.1 Použité programové vybavení

Vlastní výpočty byly prováděny metodou ustáleného nerovnoměrného proudění v programu HYDROCHECK verze 5.X, který se osvědčil při výpočtech obdobných studií.

Základní výhodou programu HYDROCHECK verze 5.X je možnost rozdělení průtočného profilu na libovolné segmenty pomocí fiktivních svislic na vlastní koryto a přilehlé části inundace, ohraničené svislými rovinami, vedenými například v linii břehové hrany koryta. Jednotlivé části příčného profilu mají různou drsnost a s tím souvisí i různé rychlosti proudění a výsledná poloha hladiny vody v profilu. HYDROCHECK verze 5.X umožňuje zobrazit podrobné rozdělení rychlostí v příčném profilu tak i rozdělení aktivní zóny v příčném profilu.

Pro výpočty konzumpčních křivek významných objektů byl použit nástroj - výpočty objektů, který je nyní přímou součástí programu HYDROCHECK verze 5.X.

Kromě metody nerovnoměrného proudění bývá užíváno i nástrojů rovnoměrného proudění pro stanovení konzumpční křivky dolní okrajové podmínky.

Pro vynášení záplavových čar z vypočtených úrovní hladin do mapového podkladu je využíváno funkcí HYDROCHECKu verze 5.X, který generuje vypočtené průsečíky hladin v profilech do mapy.

### 5.2 Vstupní data numerického modelu

Základem prací na studii je podrobný terénní průzkum. Na základě terénního průzkumu a kvalitní fotodokumentace jsou určeny drsnostní charakteristiky a později vynášeny záplavové čáry a aktivní zóna.

Podkladem pro práci bylo podrobné geodetické zaměření v rozsahu potřebném pro jednorozměrný matematický model, tedy příčné a údolní profily a veškeré objekty. Kromě toho byly pro vynášení záplavové čáry a aktivní zóny použity všechny měřené body v rámci TPE.

Základním prvkem zadání je příčný profil - jeho geometrický tvar a rozměry, včetně součinitele drsnosti omočeného profilu.

Průtočný profil je možno rozdělit pomocí fiktivních svislic na vlastní koryto a přilehlé části inundace, ohraničené svislými rovinami, vedenými například v linii břehové hrany koryta. Jednotlivé části příčného profilu mají různou drsnost a s tím souvisí i různé rychlosti proudění a výsledné poloha hladiny vody v profilu.

Na základě fotodokumentace a poznámek získaných při rekognoskaci terénu byly voleny hodnoty Manningova drsnostního součinitele n pro jednotlivé části omočeného profilu.

Kromě vytvoření geometrického modelu říční sítě včetně objektů je pro simulace nerovnoměrného proudění nutné zadat okrajové podmínky. Jedná se především o průtok a označení počátečního (popřípadě koncového) profilu, ve kterém má být průběh proudění řešen. Dále se zadává hladina v počátečním profilu, pokud není zvolen režim jejího automatického výpočtu z konzumpční křivky.

#### 5.2.1 Morfologie vodního toku a záplavového území

##### *ř. km 0,000 až 2,612 profily PF46 až PF20M – nad soutokem s Ohří, intravilán Sokolova a Svatavy*

Nad soutokem s Ohří až po ČOV, ř. km 1,066 je koryto kapacitní na  $Q_{100}$  a k ohrožení nemovitostí dojde až při povodni větší. Ve Svatavě, mezi profily PF36 a PF32 je kapacita koryta menší, při  $Q_{100}$  zde dochází k rozlivu na obou březích. Na břehu levém je několik nemovitostí v záplavě  $Q_{100}$ . Ve výše položeném úseku vodního toku PF32 až PF24 je již koryto opět kapacitní na  $Q_{100}$ .

Nad jezem PF23 Olšičky je situace zcela jiná. Koryto je zde kapacitní na průtok menší než  $Q_5$  a při  $Q_{20}$  zde dochází k zaplavení nemovitostí na pravém břehu, pod železničním mostem PF20M.

### ř. km 2,612 až 7,367 profily PF20M až PF01 – nad obcí Svatava

V úseku nad Svatavou je kapacita koryta většinou  $Q_5$ , místy nižší. V tomto úseku je ale většina zástavby zcela mimo údolníci a tak je při  $Q_{20}$  ohrožena jedna, nebo dvě nemovitosti.

#### 5.2.2 Drsnosti hlavního koryta a inundačních území

Program Hydrocheck verze 5.X umožňuje zadávání drsností nepřímo pomocí kódů, proto byl změněn způsob práce s drsnostmi. Dříve bylo jen velmi těžké měnit bodové drsnosti v profilech z tohoto důvodu byly vyplňovány bodové drsnosti pouze mimo koryto a v korytě byla používána globální drsnost, kterou bylo možné v celém úseku trati snadno změnit.

Nyní jsou vyplňovány všechny drsnosti v celém příčném profilu a snadná možnost korigovat drsnosti během výpočtu zůstává zachována.

Použité drsnosti jsou uvedeny v tabulkách č. 5.1 a 5.2. Podrobné informace o použitých drsnostech v příčných profilech najdete ve výpisu výpočtové trati.

Tab. č. 5.1 Použité drsnosti dle Manninga v korytě

Popis	n
Beton v dobrém stavu	0,020
Beton starý	0,035
dlažba	0,025 - 0,045
tráva	0,035 - 0,045
keře	0,060 - 0,090

Tab. č. 5.2 Použité drsnosti dle Manninga v inundačním území

Popis	n
silnice chodníky - asfalt, beton	0,020 - 0,025
cesta	0,035 - 0,040
louky, pole	0,035 - 0,045
stromy, keře	0,060 - 0,120
hustý porost	0,120 - 0,160
zahrady s ploty, zástavba	0,160 - 0,200 nebo vypuštěné z výpočtu

#### 5.2.3 Hodnoty okrajových podmínek

Dolní okrajová podmínka byla stanovena v počátečním profilu řešeného úseku – PF46, ř. km 0,058. Pro řešený úsek jsou k dispozici průtoky pro  $Q_5$ ,  $Q_{20}$ ,  $Q_{100}$  a  $Q_{500}$ . Jejich hodnoty jsou v následující tabulce č. 5.3. Hladiny k nim byly určeny z výsledků původní studie a lze je odebírat z výsledného výpočtového modelu.

Tab. č. 5.3 N-leté povodňové průtoky uvažované při hydraulickém řešení

profil DOP / N- leté průtoky $Q_N$	Úsek vodního toku (km od - do)	$Q_5$	$Q_{20}$	$Q_{100}$	$Q_{500}$	Poznámka
profil PF46, před ústím do Ohře, Sokolov, ř. km 0,058	0,0-4,9	56	95	157	240	

#### **5.2.4 Hodnoty počátečních podmínek**

Jak již bylo řečeno dříve, počáteční podmínky se v případě ustáleného nerovnoměrného proudění nezadávají.

#### **5.2.5 Diskuze k nejistotám a úplnosti vstupních dat**

Vstupní data byla pro zpracování studie dostatečná.

### **5.3 Popis kalibrace modelu**

Pro kalibraci modelu nebyly použity žádné povodňové značky. Model neměl být překalibrován.

## 6 Výstupy z modelu

Hlavním výstupem z matematického modelu je psaný podélňý profil, jež je zpracován pro všechny průtokové epizody a jež je hlavním nástrojem pro tvorbu záplavových čar. Psaný podélňý profil kromě vypočtené úrovni hladiny obsahuje i informaci o výšce dna (nejhlubší dno), úroveň levého a pravého břehu (břehová hrana) a dále úrovni spodní hrany mostovky mostních objektů. Profil je doplněn o poznámku, upřesňující umístění daného příčného řezu.

Psaný podélňý profil je uveden na následující stránce.

Tab. č. 6.1 Hladiny N-letých průtoků

Profil	Staničení ř. km	Kóta dna	Levý břeh	Pravý břeh	Hl. Q <sub>5</sub>	Q <sub>5</sub>	Hl. Q <sub>20</sub>	Q <sub>20</sub>	Hl. Q <sub>100</sub>	Q <sub>100</sub>	Hl.Q <sub>500</sub>	Q <sub>500</sub>
	[km]	[m n. m.]	[m n. m.]	[m n. m.]	[m n. m.]	[m <sup>3</sup> /s]	[m n. m.]	[m <sup>3</sup> /s]	[m n. m.]	[m <sup>3</sup> /s]	[m n. m.]	[m <sup>3</sup> /s]
PF46	0,058	397,42	404,38	401,22	400,30	56,0	400,30	95,0	401,11	157,0	401,93	240,0
PF45	0,214	397,51	402,00	401,68	400,38	56,0	400,54	95,0	401,36	157,0	402,16	240,0
PF44M	0,229	397,40	400,91	402,48	400,39	56,0	400,56	95,0	401,37	157,0	402,23	240,0
PF43M	0,253	397,69	403,25	404,35	400,40	56,0	400,58	95,0	401,39	157,0	402,26	240,0
PF42	0,265	397,53	401,74	403,75	400,40	56,0	400,58	95,0	401,39	157,0	402,26	240,0
PF41M	0,297	397,39	402,20	402,25	400,41	56,0	400,60	95,0	401,42	157,0	402,27	240,0
PF40	0,312	397,59	408,95	403,07	400,41	56,0	400,60	95,0	401,42	157,0	402,27	240,0
PF39	0,460	398,49	401,62	403,35	400,61	56,0	400,98	95,0	401,78	157,0	402,61	240,0
PF38	0,630	398,38	407,94	405,97	400,88	56,0	401,36	95,0	402,13	157,0	402,94	240,0
PF37	0,856	399,39	403,60	403,35	401,32	56,0	401,87	95,0	402,62	157,0	403,40	240,0
PF36	1,066	400,10	407,28	403,96	401,97	56,0	402,56	95,0	403,21	157,0	403,90	240,0
PF35	1,298	400,79	403,19	403,43	402,76	56,0	403,29	95,0	403,71	157,0	404,22	240,0
PF34M	1,316	400,72	405,13	405,17	402,78	56,0	403,29	95,0	403,69	157,0	404,31	240,0
PF33	1,325	400,82	404,77	403,73	402,81	56,0	403,33	95,0	403,74	157,0	404,36	240,0
PF32	1,438	401,26	406,00	406,00	403,25	56,0	403,73	95,0	404,11	157,0	404,66	240,0
PF31	1,565	402,30	406,08	406,13	403,84	56,0	404,28	95,0	404,74	157,0	405,33	240,0
PF30M	1,575	402,40	406,90	407,00	403,86	56,0	404,30	95,0	404,77	157,0	405,36	240,0
PF29	1,594	402,44	405,46	405,24	403,95	56,0	404,39	95,0	404,87	157,0	405,46	240,0
PF28	1,775	403,33	406,81	408,85	404,73	56,0	405,12	95,0	405,60	157,0	406,16	240,0
PF27	1,982	403,96	407,31	407,42	405,50	56,0	405,85	95,0	406,29	157,0	406,76	240,0
PF26M	2,003	403,81	407,45	407,53	405,53	56,0	405,88	95,0	406,31	157,0	406,76	240,0
PF25	2,010	403,96	407,33	408,08	405,55	56,0	405,90	95,0	406,34	157,0	406,83	240,0
PF24	2,318	404,94	407,78	407,94	407,41	56,0	407,67	95,0	407,87	157,0	407,99	240,0
PF23_J	2,338	407,39	408,40	408,31	408,57	56,0	408,79	95,0	409,03	157,0	409,24	240,0
PF22	2,369	406,73	407,41	407,64	408,57	56,0	408,79	95,0	409,03	157,0	409,24	240,0
PF21	2,589	406,66	408,67	410,10	408,91	56,0	409,30	95,0	409,68	157,0	409,93	240,0
PF20M	2,612	406,70	412,06	411,95	408,95	56,0	409,36	95,0	409,75	157,0	409,98	240,0
PF19	2,623	406,70	411,51	410,70	408,92	56,0	409,32	95,0	409,76	157,0	410,05	240,0
PF18	2,883	407,56	412,69	410,37	409,59	56,0	409,96	95,0	410,33	157,0	410,63	240,0
PF17B	3,102	407,91	409,70	410,88	410,01	56,0	410,42	95,0	410,71	157,0	410,96	240,0

ZPRACOVÁNÍ MAP POVODŇOVÉHO NEBEZPEČÍ A POVODŇOVÝCH RIZIK PRO OBLAST POVODÍ OHŘE A DOLNÍHO LABĚ  
B. TECHNICKÁ ZPRÁVA – HYDRODYNAMICKÉ MODELY A MAPY POVODNOVÉHO NEBEZPEČÍ

---

Profil	Staničení ř. km	Kóta dna	Levý břeh	Pravý břeh	Hl. Q <sub>5</sub>	Q <sub>5</sub>	Hl. Q <sub>20</sub>	Q <sub>20</sub>	Hl. Q <sub>100</sub>	Q <sub>100</sub>	Hl.Q <sub>500</sub>	Q <sub>500</sub>
	[km]	[m n. m.]	[m n. m.]	[m n. m.]	[m n. m.]	[m <sup>3</sup> /s]	[m n. m.]	[m <sup>3</sup> /s]	[m n. m.]	[m <sup>3</sup> /s]	[m n. m.]	[m <sup>3</sup> /s]
PF17A_J	3,119	410,00	410,91	411,05	410,53	56,0	410,75	95,0	410,95	157,0	411,16	240,0
PF17	3,134	408,78	411,12	420,17	410,67	56,0	410,92	95,0	411,14	157,0	411,36	240,0
PF16	3,398	409,50	413,84	417,44	411,43	56,0	411,86	95,0	412,26	157,0	412,63	240,0
PF15	3,626	410,36	415,37	414,00	412,22	56,0	412,67	95,0	413,16	157,0	413,59	240,0
PF14M	3,644	410,46	415,40	415,67	412,26	56,0	412,72	95,0	413,20	157,0	413,63	240,0
PF13	3,673	410,52	419,01	415,75	412,29	56,0	412,77	95,0	413,31	157,0	413,80	240,0
PF12	3,958	411,20	422,05	418,08	413,24	56,0	413,70	95,0	414,22	157,0	414,73	240,0
PF11	4,229	412,43	419,45	417,23	414,18	56,0	414,63	95,0	415,15	157,0	415,68	240,0
PF10	4,576	413,82	419,58	417,54	415,50	56,0	416,02	95,0	416,62	157,0	417,25	240,0
PF9	4,818	414,11	420,47	418,58	416,31	56,0	416,87	95,0	417,50	157,0	418,05	240,0
PF8	5,100	414,99	421,61	419,61	417,11	56,0	417,67	95,0	418,28	157,0	418,84	240,0
PF7	5,568	416,82	423,43	422,70	418,73	56,0	419,30	95,0	419,95	157,0	420,56	240,0
PF6	5,904	418,29	421,26	422,09	419,99	56,0	420,50	95,0	421,04	157,0	421,50	240,0

## 6.1 Záplavové čáry pro průtoky Q<sub>5</sub>, Q<sub>20</sub>, Q<sub>100</sub> a Q<sub>500</sub>

Z vypočítaných úrovní hladiny v jednotlivých profilech byl interpretován průběh záplavové čáry. Z tohoto znázornění a z průběhu hladin v podélém profilu je patrný rozsah zatápěných ploch a objektů. Dále se tímto způsobem zjistí překážky průtoku, které působí patrné vzdutí hladiny, jejichž odstraněním nebo rekonstrukcí je možno rozsah zátop redukovat.

Záplavové čáry byly vyneseny na podkladě rastrové Základní mapy ČR v měřítku 1 : 10 000. Zakreslení záplavových čar, zejména mimo zaměřené příčné profily, zahrnuje nepřesnosti použité mapy. Snahou vyeliminovat nepřesnosti je užití bodového pole z DMT mimo zaměřené příčné profily. Při posouzení konkrétního místa je tedy rozhodující kóta hladiny odvozená z podélného profilu a skutečná nadmořská výška terénu posuzovaného místa.

Při aplikaci výsledků výpočtu je nutno si uvědomit, že přírodní třírozměrný v čase proměnný děj je popisován stacionárním jednorozměrným matematickým výpočtem s použitím mnoha zjednodušujících předpokladů a odhadů. Přesnost výpočtu je limitována zejména hustotou příčných profilů použitých k výpočtu a odhadem drsnostního součinitele.

Hodnoty úrovni hladin získané interpolací mezi jednotlivými výpočtovými příčnými profily nemusí odpovídat skutečnosti.

Nejsou zde postiženy jevy běžně se vyskytující při povodních - hladina v inundaci nemusí být v jednom příčném profilu stejná jako v korytě, v obloucích dochází k příčnému převýšení hladiny, hladina je rozvlněná, atd.

Výpočet je proveden pro ideální stav koryta. Není započítáno ucpání průtočného profilu plaveným materiélem, které hrozí zejména v mostních profilech. Vliv na proudění má i sezónní stav vegetačního pokryvu.

Výsledky tohoto výpočtu nejsou neměnné. Může dojít ke změnám vlivem zpřesnění topografických podkladů, změny hydrologických údajů, použitím přesnějších výpočetních modelů, nebo vlivem změn v průtočném profilu vodního toku.

Analýzou průniku maximálního rozlivu (při průtoku Q<sub>500</sub>) a správních území byly zajištěny informace o dotčených správních území obcí uvedené v následující tabulce.

Tab. č. 6.2 Dotčené správní území obcí maximálním rozlivem

Kód ORP	Název ORP	Kód ICOB	Název obce
4107	Sokolov	511587	Josefov
4107	Sokolov	538434	Svatava
4107	Sokolov	560286	Sokolov
4107	Sokolov	560545	Lomnice

## 6.2 Hloubky pro průtoky Q<sub>5</sub>, Q<sub>20</sub>, Q<sub>100</sub> a Q<sub>500</sub>

Určení hloubek pro jednotlivé povodňové scénáře je provedeno v prostředí ArcGIS, jako rozdíl digitálního modelu hladiny a digitálního modelu terénu. Digitální model hladiny byl vytvořen lineární interpolací hladin mezi jednotlivými příčnými profily, které byly převzaty z hydraulického modelu. Výsledkem je rastr hloubek o velikosti pixlu 2 x 2 m. Mapa hloubek se následně ořízne záplavovou čárou pro daný scénář.

## 6.3 Rychlosti pro průtoky Q<sub>5</sub>, Q<sub>20</sub>, Q<sub>100</sub> a Q<sub>500</sub>

Pro hodnocení rizik vznikly ve studii dva samostatné výstupy vypočtených rychlostí a to vrstva bodová a plošná. Bodová vrstva slouží pro zobrazení v mapě rychlostí jako informace o průměrné celoprofilové rychlosti. Tato informace je však pro hodnocení rizik bezcenná, proto vznikla vrstva plošného rozdělení rychlostí. Ta pak bude použita pro další hodnocení.

### 6.3.1 Bodová vrstva průměrných celoprofilových rychlostí

Při výpočtu nerovnoměrného proudění byly z výpočetního programu Hydrocheck exportovány pro jednotlivé profily a jednotlivé průtokové epizody průměrné celoprofilové rychlosti. Tako získaná hodnota rychlosti pak byla v GIS přiřazena jako bodová informace průsečíku daného příčného řezu a osy vodního toku. Pro každý profil a jednu průtokovou epizodu tak byla získána informace o rychlosti, celkem tedy pro každý profil 4 hodnoty rychlosti ( $Q_5 - Q_{500}$ ).

### 6.3.2 Plošné rozdělení rychlostí v inundaci

Program Hydrocheck pracuje se svislicovými rychlostmi a dokáže do mapy zobrazit rozdělení rychlostí v příčném řezu. Pokud umístění a hustota příčných řezů dostatečně popisuje záplavové území, lze poměrně přesně určit i plošné rozdělení rychlostí v inundaci zvláště, když je při posuzování k dispozici mapa hloubek. Plošné rozdělení rychlostí vychází z těchto předpokladů:

- nezájímá nás rychlosť v korytě, ale pouze v inundaci
- pro hodnocení rizik nás nezájímá rychlosť menší než 1 m/s
- rychlosť je rozdělena po 0,5 m/s na kategorie 1,0 až 1,5 - 1,5 až 2,0 atd.

Na základě těchto předpokladů byly nad mapou vykresleny polygony rychlostí větších než 1 m/s. Tato plošná vrstva je podkladem pro další hodnocení rizik.

## 6.4 Zhodnocení nejistot ve výsledcích výpočtu

Jak bylo uvedeno výše, výpočetní model 1D je vždy schematizací skutečnosti. Hlavní míra nejistoty však neplyne ze špatného odhadu drsnostních charakteristik, nebo nedostatečně popsané topologie území a koryta, ale ze vstupních průtokových dat, jejichž přesnost je nezřídka v rozmezí  $\pm 40 - 60\%$  dle uvedené třídy přesnosti. Dalším již zmíněným faktorem, s ním model nepočítá, je množství plavenin, které postupují vodním tokem při povodni, ať už se jedná například o ledové kry nebo antropogenní materiál či dřevní hmotu. Tyto plaveniny, pak zejména v prostoru objektů mohou způsobit naprostě převratné změny průtočného profilu (částečné nebo úplné ucpání), které pak mají na průběh hladiny zásadní vliv.

Pokud však odhlédneme od nejistot způsobených nepřesnými hydrologickými daty a budeme vztahovat rozsah záplavového území ke konkrétnímu průtoku (a nikoliv k deklarované četnosti povodně) a budeme postupovat v souladu s Metodikou stanovení ZÚ, tedy výpočet bez plavenin, můžeme konstatovat, že vypovídací schopnost modelu je značně vysoká. Největší ovlivnění hladin nastává v místech objektů, jejichž nesprávné posouzení, či špatně provedený výpočet ve vztahu k zatopení dolní vodou, má na úroveň hladiny zásadní vliv. Poměrně významné je i ovlivnění výpočtu chybě umístěnými dílčími profily v příčném řezu, naopak chybný odhad drsnosti byť v řádu desítek procent se ve volné trati dramaticky neprojeví.